

Figure 1: Aspect macroscopique de *M. canis* en culture sur milieu de Sabouraud; (a) recto (b) verso.

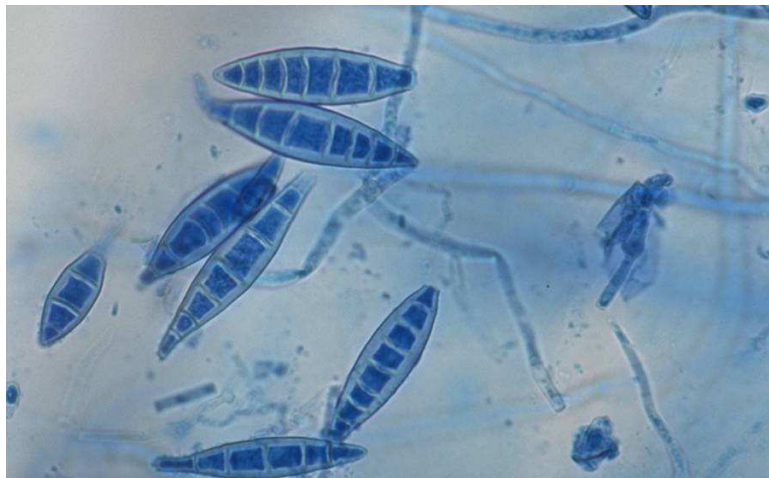


Figure 2: Macroconidies de *M. canis*; préparation: lactophéno au bleu coton

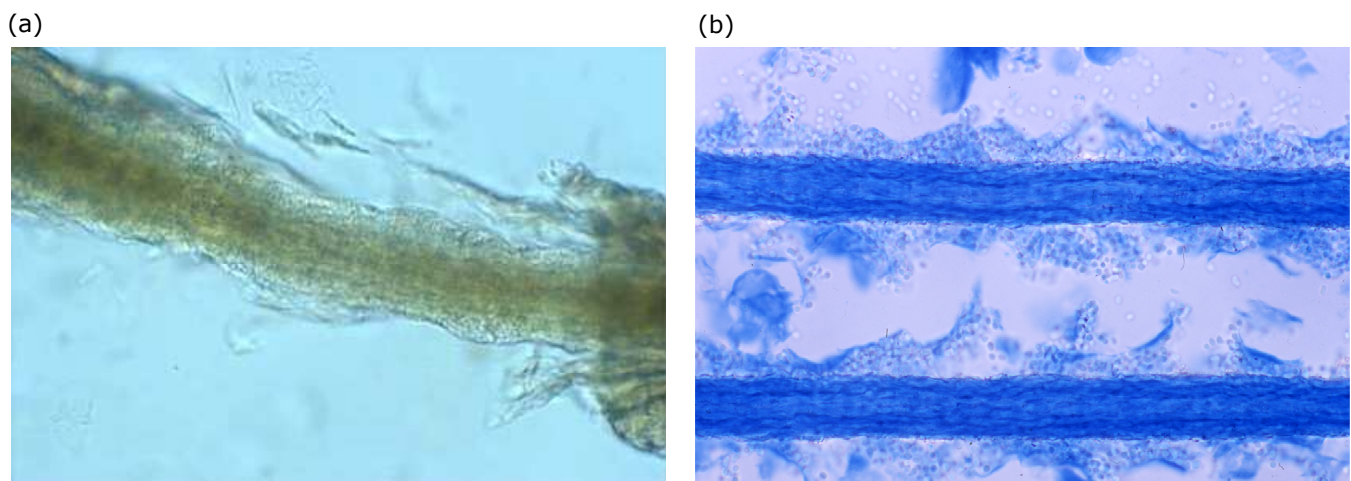


Figure 3: Poils infectés par *M. canis*. (a) préparation au chloral lactophéno (b) préparation: lactophéno au bleu coton



© B. Mignon

Figure 4: Lésion caractéristique de teigne à *M.*

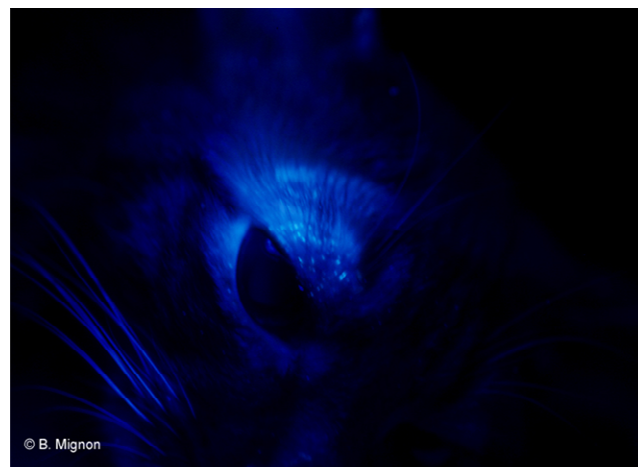


© B. Mignon

Figure 5: Chat atteint de blépharite à *M. canis* et herpès circiné chez sa propriétaire



Figure 6: Lésion de teigne à *M. canis* chez un chien



© B. Mignon

Figure 7: Poils infectés par *M. canis* au sein d'une lésion chez un chat, fluorescents sous lampe de Wood.

En complément à l'étude 3, l'analyse de l'impact de l'inhibition de SUB3 sur le profil protéique des surnageants de culture de *M. canis* a été effectuée, en collaboration avec le Professeur Monod (Dermatologie, CHUV de Lausanne). La souche inhibée ayant présenté le taux d'ARNm le plus faible (S-SUB-10; 2 %), ainsi que la souche mère (IHEM21239) et une souche transformée avec le plasmide pSilent-1 vide (PS16b), ont été cultivées sur milieu enrichi en kératine (KM). Les trois surnageants ont été récoltés et analysés par électrophorèse SDS-PAGE standard. La bande correspondant à SUB3 (31,5 kDa; Mignon *et al.*, 1998a) est absente chez la souche déficiente, mais qui plus est, celle correspondant à SUB4 (Monod, communication personnelle) disparaît également. Cela indique que le fragment interférant correspondant à SUB3 a également empêché l'expression d'autres SUB, tout au moins SUB4.

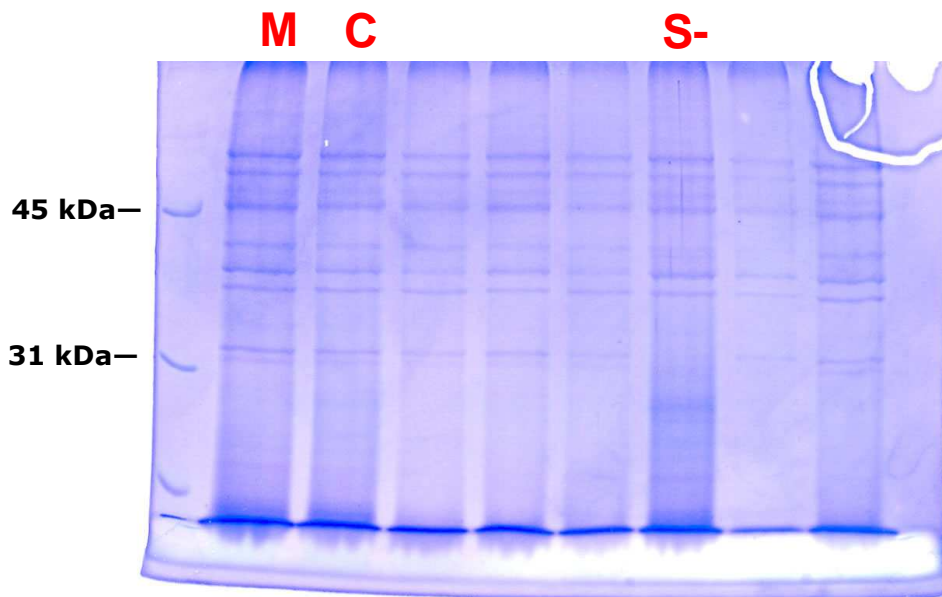


Figure 8 : Analyse en SDS-PAGE du surnageant de culture sur KM de la souche sauvage de *M. canis* IHEM21239 (M), de la souche transformée contrôle PS16b (C), et de la souche déficiente S-SUB-10 (S-). Les autres pistes contiennent les surnageants de transformants faiblement inhibés pour *SUB3* ou transformés avec le fragment interférant correspondant à *DPPIV*.